

名古屋工業大学 正員 岡林 稔  
 同 正員 長谷部 宣男  
 同 大学院〇学生員 横田 宏昌

### 〇まえがき

Y字型ラーメンには3軸引張り, および2軸面内曲げモーメントの作用した平面弾性問題として, Y字型ラーメン隅角部附近の応力分布については, 先に文献1で発表した。ここでは境界線上に面外曲げモーメントの作用した, いわゆる薄いプレートの曲げ問題としてY字形板の応力分布を求めたものである。

Y字形板を平面弾性問題として解こうとするとき, その領域が有理関数により単位円に等角写像される場合には, Fredholmの積分方程式を解くことなく閉じた解が得られるが(文献2), 薄いプレートの曲げの問題として, 面外荷重が作用した場合にも, その領域が有理関数により単位円に等角写像される場合には, やはりFredholmの積分方程式を解くことなく閉じた解が得られる。(文献3) Y字形領域を単位円に等角写像する関数は, Schwarz-Christoffelの変換公式を用いて得られるが, この関数は有理関数でない。したがって問題は, いかんして精度のよい有理型の写像関数を作るかであるが, ここでは先に文献1で述べた分数式の和の形の有理写像関数を用いて応力解析した。

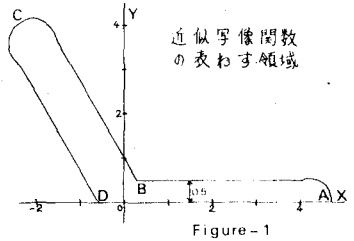


Figure-1

### 〇応力計算の基本式および境界条件

薄いプレートの境界線上に, 面外荷重が作用した場合, その中立面の垂直変位 $w$ の満たすべき条件式は,

$$\frac{\partial^2 w}{\partial x^4} + 2 \frac{\partial^2 w}{\partial x^2 \partial y^2} + \frac{\partial^2 w}{\partial y^4} = 0$$

である。従って,  $w$ は重調和関数であり, その一般解は

$$w(x, y) = \operatorname{Re}[\bar{Z}\varphi(Z) + \chi(Z)] \quad \text{但し } Z = x + iy$$

で表わされる(文献2)。そこで, 曲げモーメント $M_0, M_p$  ねじりモーメント $H_{\theta 0}$ は複素応力関数, 及び写像関数 $\omega(\zeta)$ を用いて

$$M_p + M_0 = -2D(1+\nu) \left[ \frac{\varphi(\zeta)}{\omega(\zeta)} + \overline{\frac{\varphi(\zeta)}{\omega(\zeta)}} \right] \quad \text{但し } \psi(\zeta) = \chi(\zeta)$$

$$M_0 - M_p + 2iH_{\theta 0} = \frac{2D(1-\nu)\zeta^2}{|\zeta|^2 \omega'(\zeta)} \left[ \omega(\zeta) \left\{ \frac{\varphi'(\zeta)}{\omega(\zeta)} \right\}' + \psi(\zeta) \right]$$

と表わされる。ここに $\nu$ は曲げ剛さ,  $\nu$ はポアソン比である。

複素応力関数を定めるために満足すべき境界条件は, 境界線上に沿う面外荷重の曲げモーメントを $m(\zeta)$ , 中立面に垂直な力を $p(\zeta)$ とすると,  $\zeta$ 平面の単位円周上 $\delta = e^{i\theta}$ で,

$$-\frac{3+\nu}{1+\nu}\varphi(\delta) + \frac{\omega(\delta)}{\omega(\delta)}\overline{\varphi(\delta)} + \overline{\psi(\delta)} = f_1 + if_2 \quad (1)$$

ここに

$$f_1 + if_2 = \frac{1}{D(1-\nu)} \int_0^S [m(s) + i] p(s) ds \quad (2)$$

である。

(1)式の両辺に  $\frac{1}{2\pi i} \frac{d\delta}{\delta-\gamma}$  を乗じ、単位円周上での周回積分を行なうと、コーシーの定理により、

$$\frac{-3+\nu}{1+\nu}\varphi(\gamma) + \frac{\omega(\delta)\overline{\varphi(\delta)}d\delta + \overline{\psi(\delta)}}{\omega(\delta)\delta-\gamma} = \frac{1}{2\pi i} \int_0^S \frac{f_1 + if_2}{\delta-\gamma} d\delta = A(\gamma) \quad (2)$$

となる。求めたり未知関数  $\varphi(\gamma)$  は、今の場合、写像関数

$\omega(\gamma)$  が、単位円内で正則、単位円外で49個の点で一位の極を持つ関数で、また、 $\omega(\gamma)$  は単位円内で零点を持たない関数であることを考えて(文献17)、 $\varphi(\gamma)$  の未定係数につき、98元一次の連立方程式を解くことにより、 $\varphi(\gamma)$  を求めることが出来る。 $\varphi(\gamma)$  が求めれば、 $\psi(\gamma)$  は(1)式の共役な式より求めることが出来る。境界条件として、ACE3点に1.0の面外の曲げモーメントを作用させた場合を考える。(図-2) 式(2)における  $A(\gamma)$  の一次導関数は、

$$A'(\gamma) = \frac{1}{2\pi D(1-\nu)} \frac{3}{1-\gamma^2}$$

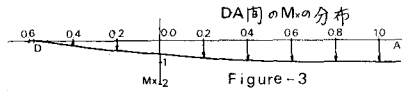
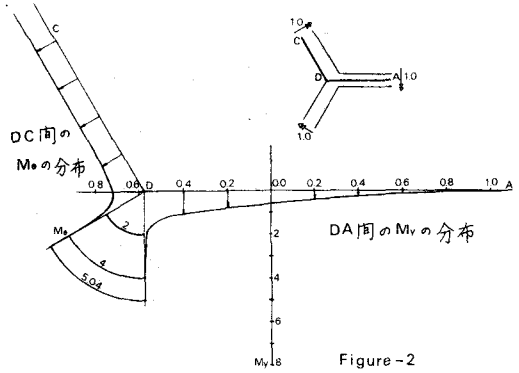
である。

### 計算結果

前述の如く、ACEの3点に1.0の曲げモーメントを作用した場合を、ポアソン比を0.3として、隅角部附近の境界線、及び実軸上に沿う曲げモーメントを、図2、及び図3に示した。そして、これらの数値を示したのが表1である。図2,3を考察してみると、境界線上では  $M_x$  は当然0であり、 $M_y$  は1.0から隅角部に近づくに従って、急に増加し、最大曲げモーメント5.04に達している。実軸上に沿う  $M_y$  の値も帯の先端では0に等しく、隅角部に近づくにつれて漸増しており、最大曲げモーメントに達する。 $M_x$  の値はやはり帯の先端では1.0であり、 $x=0.5$  附近から減少、隅角点Dにおいて0になる。

(参考文献)

- (1) 岡林、長谷部、横田：「Y型ラマ隅角部の応力解析」才25回年次学術講演会講演集
- (2) Muskhelishvili: 「Some Basic Problems of the Mathematical Theory of Elasticity」
- (3) G. N. Savin: 「Stress Concentration around Holes」 Pergamon Press Chap. VI



座標	3軸曲げモーメント	
	$M_x$	$M_y$
3.27974	0.0	1.00
2.54688	~	1.00
1.74164	~	0.99
1.02908	~	0.99
0.61874	~	0.97
0.41411	~	0.92
0.25317	~	0.84
0.10621	~	0.72
-0.03790	~	0.58
-0.18107	~	0.45
-0.31761	~	0.32
-0.43655	~	0.20
-0.52684	~	0.06
-0.57749	0.0	0.00
-0.60526	0.04839	0.00
-0.61681	0.06855	~
-0.63707	0.10339	~
-0.66088	0.14458	~
-0.68926	0.18387	~
-0.72404	0.25431	~
-0.76909	0.33198	~
-0.83259	0.44147	~
-0.95458	0.65416	~
-1.01838	0.76582	~
-1.12992	0.85655	~
-1.32099	1.28865	~
-1.70630	1.95568	~
-2.07271	2.58031	0.00

Table-1